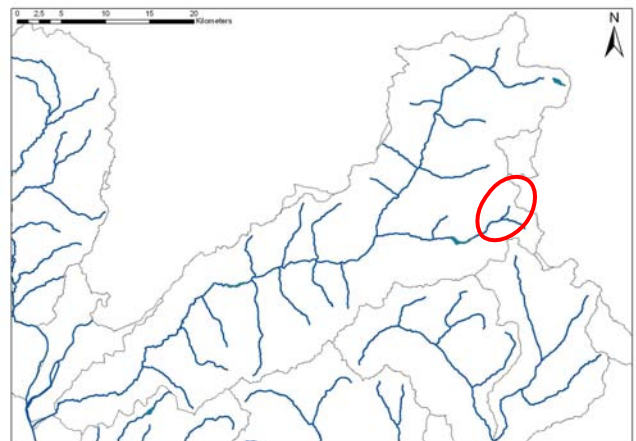
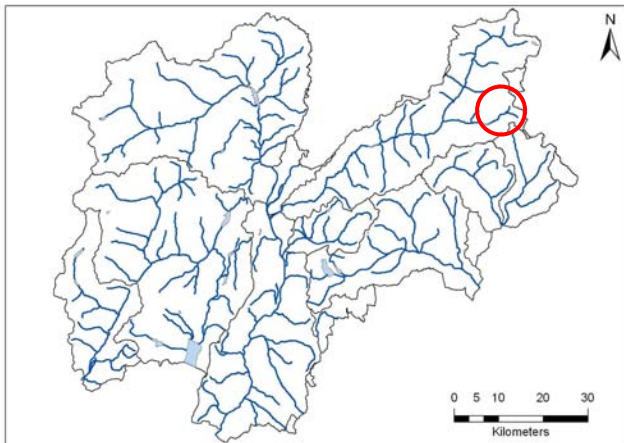


Rio Vallazza



Codice RASTA	Area bacino (Kmq)	Lunghezza totale (Km)
A153020000	11,8	2,1

Tabella 1: Punteggio, livello, giudizio IFF reale e relativo

Descrizione tratto						IFF reale			IFF relativo			
Codice	Data	L (m)	Inizio tratto	Fine tratto	Sp	Punt	Liv	Giud	CatFI	Punt FP	Frel (%)	Frel giud
VALZ001d	14/-set-11	110	Confluenza Travignolo	Ponte parcheggio Paneveggio	dx	206	II	buono	MT	256	80,5%	buono
VALZ001s					sx	206	II	buono	MT	256	80,5%	buono
VALZ002d	14/-set-11	180	Ponte parcheggio Paneveggio	Strada lontana in dx	dx	196	II-III	buono-mediocre	MT	256	76,6%	buono
VALZ002s					sx	211	II	buono	MT	256	82,4%	buono
VALZ003d	14/-set-11	742	Strada lontana in dx	Briglie	dx	211	II	buono	MT	256	82,4%	buono
VALZ003s					sx	211	II	buono	MT	256	82,4%	buono
VALZ004d	14/-set-11	226	Briglie	Inizio vegetazione autoctona in dx e sx	dx	135	III	mediocre	MT	256	52,7%	mediocre
VALZ004s					sx	135	III	mediocre	MT	256	52,7%	mediocre
VALZ005d	14/-set-11	813	Inizio vegetazione autoctona in dx e sx	Fine rilevamento (1800 metri slm)	dx	236	II	buono	MT	256	92,2%	ottimo
VALZ005s					sx	226	II	buono	MT	256	88,3%	ottimo

Mappe di funzionalità fluviale reale e relativa

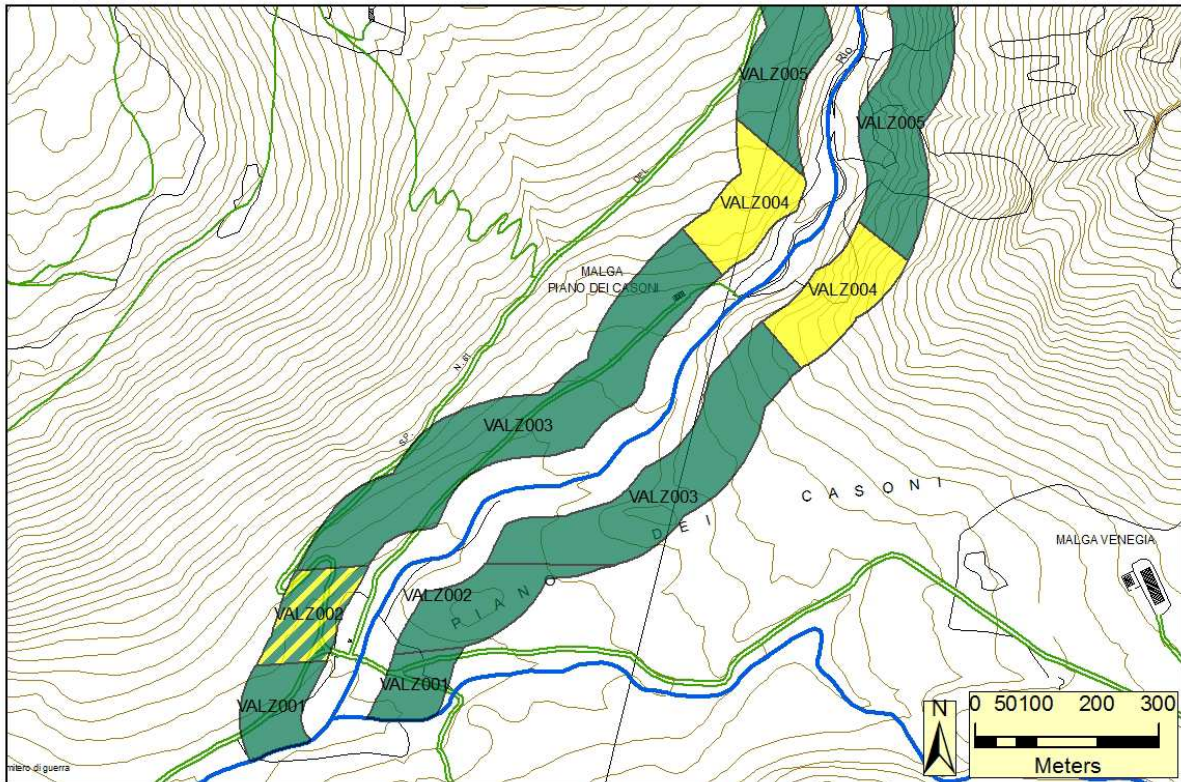


Figura 1a: Cartografia dei risultati IFF reale

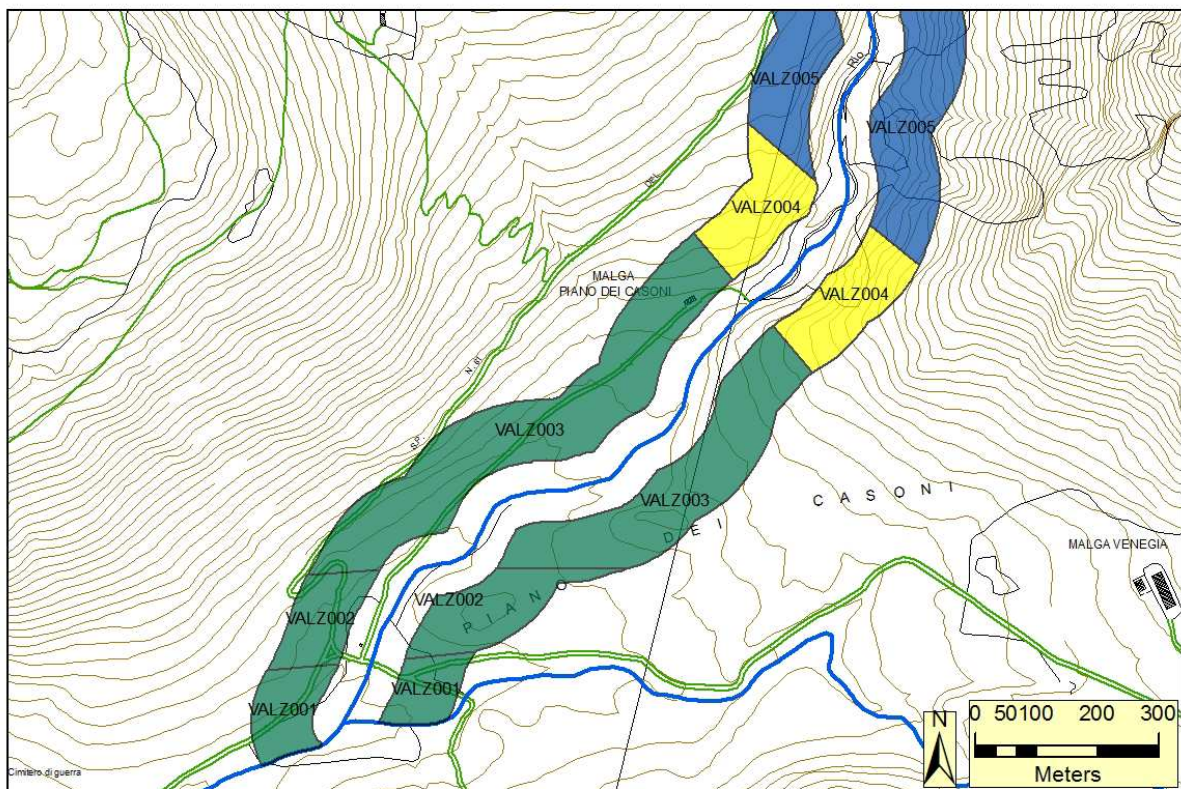


Figura 1b: Cartografia dei risultati IFF relativo



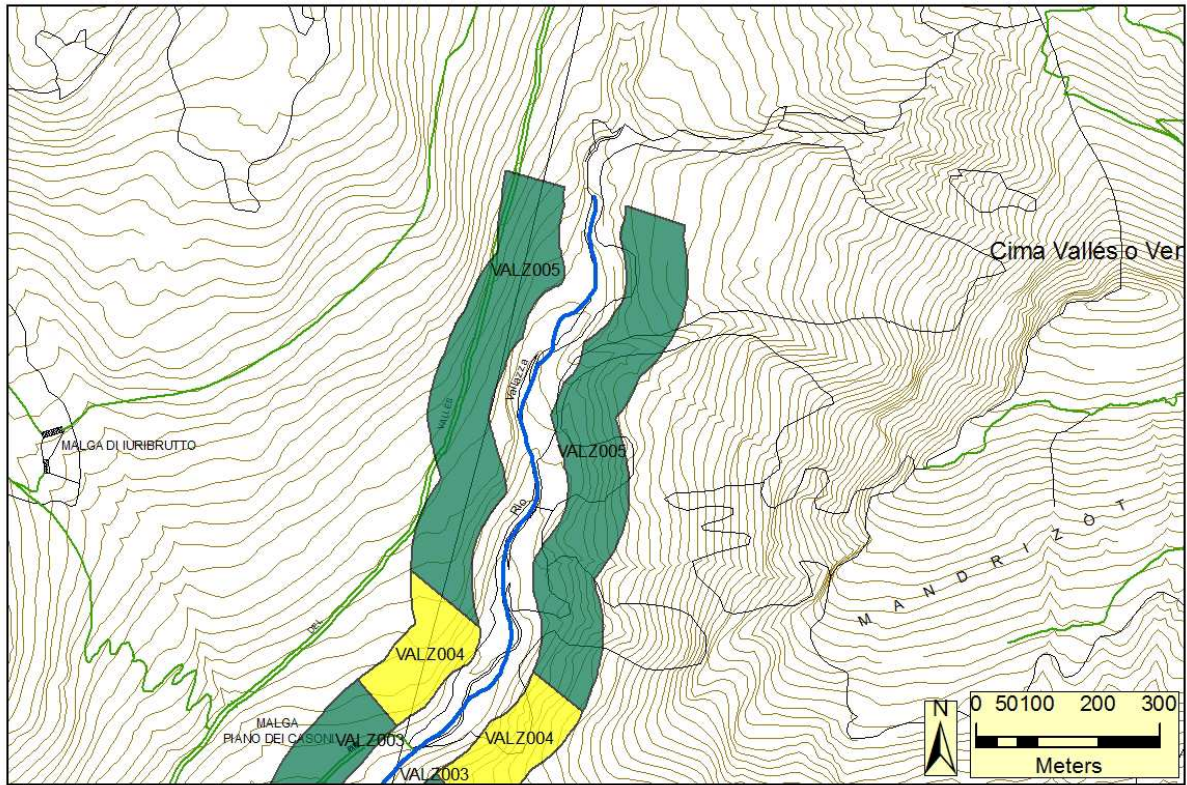


Figura 2a: Cartografia dei risultati IFF reale

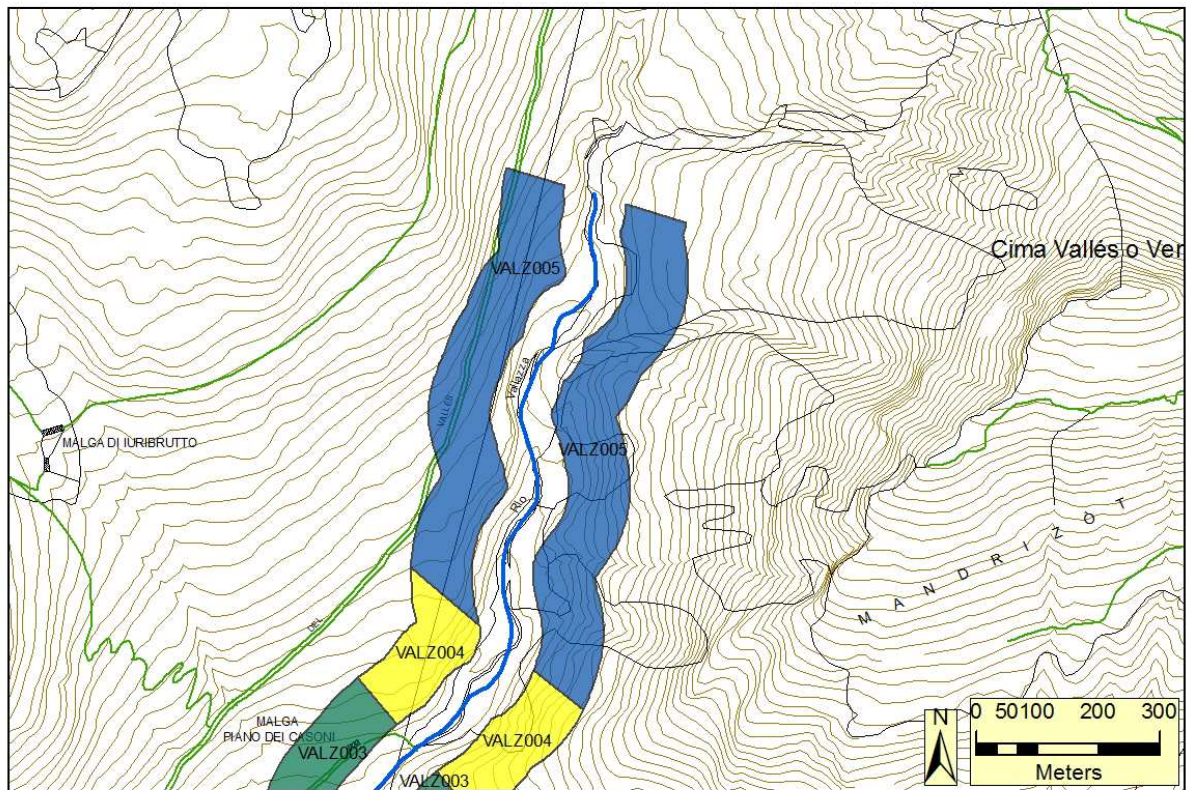


Figura 2b: Cartografia dei risultati IFF relativo



Documentazione fotografica e commento ai tratti

VALZ001

VALZ001	1	2	2b	3	4	5	6	7	8	9	10	11	12	13	14	IFF	
	TER	VP1	VP2	AMP	CON	CID	ESO	RIT	ERO	SEZ	ITT	IDR	CVA	DET	MBT	Punteggio	Livello
Dx	25	10		15	5	20	1	15	20	20	20	5	15	15	20	206	II
Sx	25	10		15	5	20	1	15	20	20	20	5	15	15	20	206	II

Confluenza T. Travignolo - ponte parcheggio Paneveggio; lungh: 110 m



Il primo tratto del Rio Vallazza scorre in un bosco di abeti rossi. Tali essenze vegetali si spingono fino alle sponde del torrente e ne costituiscono la vegetazione perifluviale; l'ampiezza è superiore ai 30 metri ma sono presenti delle vaste porzioni di suolo dominate da specie erbacee. Le portate sono stabili, con fluttuazioni stagionali non estreme. Il substrato dell'alveo è composta da ciottoli e da massi incassati, che garantiscono una buona ritenzione degli apporti trofici. L'erosione è assente e la sezione trasversale è integra. L'idoneità ittica è buona e non si distinguono elementi idromorfologici, predomina la *run*. Il comparto biologico (la componente vegetale in alveo, il detrito e la comunità macrobentonica) non mostra segni di alterazione.

VALZ002

VALZ002	1	2	2b	3	4	5	6	7	8	9	10	11	12	13	14	IFF	Livello
	TER	VP1	VP2	AMP	CON	CID	ESO	RIT	ERO	SEZ	ITT	IDR	CVA	DET	MBT	Punteggio	
Dx	25	10		5	5	20	1	15	20	20	20	5	15	15	20	196	II-III
Sx	25	10		15	10	20	1	15	20	20	20	5	15	15	20	211	II

Ponte parcheggio Paneveggio – strada lontana in destra; lungh: 180 m



Il piazzale per il parcheggio situato in destra idrografica crea un'interruzioni e limita l'ampiezza della vegetazione perifluviale di tale sponda, costituita da una formazione arbustiva autoctona non riparia. In sinistra invece continua la formazione arborea autoctona non riparia individuata precedentemente. Sulla sponda sinistra è stata osservata una limitata incisione verticale. Non sussistono ulteriori differenze con quanto già osservato anche per il tratto precedente.

VALZ003

VALZ003	1	2	2b	3	4	5	6	7	8	9	10	11	12	13	14	IFF	Livello
	TER	VP1	VP2	AMP	CON	CID	ESO	RIT	ERO	SEZ	ITT	IDR	CVA	DET	MBT	Punteggio	
Dx	25	10		15	10	20	1	15	20	20	20	5	15	15	20	211	II
Sx	25	10		15	10	20	1	15	20	20	20	5	15	15	20	211	II

Strada lontana in destra – briglie; lungh: 742 m



Il territorio circostante di entrambe le sponde è dominato dal bosco di conifere. La vegetazione perifluviale, sia destra che sinistra, è composta solo da una formazione arborea autoctona non riparia (in larga misura composta da abeti rossi). L'ampiezza è maggiore di 30 metri e sono presenti modeste interruzioni con presenza di copertura erbacea. Il substrato dell'alveo è composta da ciottoli e da massi incassati, che garantiscono una buona ritenzione degli apporti trofici. L'erosione è assente e la sezione trasversale è integra. L'idoneità ittica è buona e non si distinguono elementi idromorfologici, predomina il *run*. La comunità macrobentonica campionata è diversificata e composta da taxa molto sensibili all'inquinamento, come i Plecotteri Nemouridae e gli Ephemeropterati Heptageniidae.

VALZ004

VALZ004	1	2	2b	3	4	5	6	7	8	9	10	11	12	13	14	IFF	Livello
	TER	VP1	VP2	AMP	CON	CID	ESO	RIT	ERO	SEZ	ITT	IDR	CVA	DET	MBT	Punteggio	
Dx	25	1		1	1	20	1	5	20	1	5	5	15	15	20	135	III
Sx	25	1		1	1	20	1	5	20	1	5	5	15	15	20	135	III

Briglie – inizio vegetazione autoctona in destra e sinistra; lungh: 226 m



Questo tratto si caratterizza per gli interventi di risagomatura della sezione trasversale, come ben mostrato anche in fotografia, che hanno completamente alterato la funzionalità generale del torrente.

VALZ005

VALZ005	1	2	2b	3	4	5	6	7	8	9	10	11	12	13	14	IFF	Livello
	TER	VP1	VP2	AMP	CON	CID	ESO	RIT	ERO	SEZ	ITT	IDR	CVA	DET	MBT	Punteggio	
Dx	25	10		15	15	20	1	25	20	20	20	15	15	15	20	236	II
Sx	25	10		15	5	20	1	25	20	20	20	15	15	15	20	226	II

Inizio vegetazione autoctona in destra e sinistra – fine rilevamento (1800 metri s.l.m.); lungh: 813 m



Il VALZ005 è l'ultimo tratto rilevato che si spinge fino alla quota di 1800 metri s.l.m. Il territorio circostante di entrambe le sponde è dominato dal bosco di conifere. La vegetazione perifluviale, sia destra che sinistra, è composta solo da una formazione arborea autoctona non riparia (in larga misura composta da abeti rossi). L'ampiezza è maggiore di 30 metri e sono presenti modeste interruzioni causate da porzioni franate dei versanti. Il substrato dell'alveo è composto da substrati diversificati, con massi e tronchi, che fungono da ottime strutture di ritenzione degli apporti trofici. L'erosione è assente e la sezione trasversale è integra. L'idoneità ittica è buona e l'idromorfologia è step&pool, tipico andamento dei torrenti montani. Il comparto biologico non mostra segni di alterazione.

Commento dei risultati IFF

La somma delle lunghezze dei tratti rilevati è di 2071 m.

Il Rio Vallazza scorre in un ambiente alpino con pressioni tracurabili per cui la funzionalità reale di questo breve corso d'acqua è buono per quasi tutta la sua lunghezza. Solo un tratto risulta con una funzionalità mediocre a causa di alcuni interventi di risagomatura e la presenza di una briglia.

Funzionalità reale	Lungh. Tot Dx (m)	% Dx	Lungh. Tot Sx (m)	% Sx
ottimo	0	0%	0	39%
ottimo-buono	0	0%	0	0%
buono	1665	80%	1845	89%
buono-mediocre	180	9%	0	0%
mediocre	226	11%	226	11%
mediocre-scadente	0	0%	0	0%
scadente	0	0%	0	0%
scadente-pessimo	0	0%	0	0%
pessimo	0	0%	0	0%

Tabella 2: Percentuale dei giudizi di funzionalità reale in relazione alla lunghezza del corso d'acqua

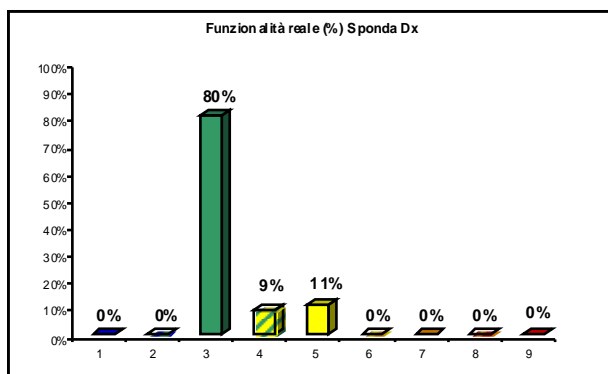


Figura 5a: Grafici della distribuzione percentuale dei giudizi di funzionalità reale per la sponda destra

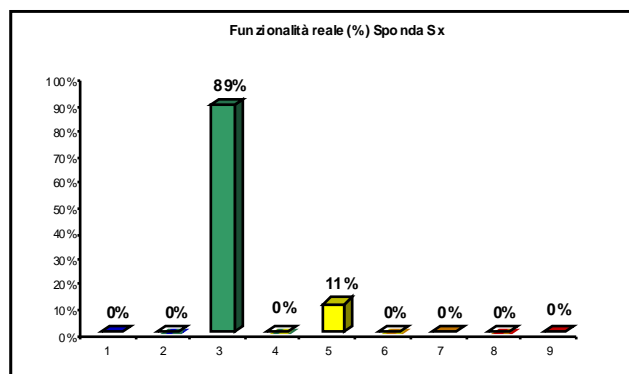


Figura 5b: Grafici della distribuzione percentuale dei giudizi di funzionalità reale per la sponda sinistra

Il rio Vallazza è associato alla tipologia montana con assenza di zona esondabile e una formazione riparia. In parte il corso d'acqua si avvicina alla funzionalità ottimale mentre per altri tratti rimane buono per l'assenza di una vegetazione riparia e per l'assenza di strutture di ritenzione ben strutturate e di diversità morfologica. Il tratto 4 interessato da opere antropiche (11%) non cambia tra funzionalità reale e potenziale a testimonianza che questi interventi hanno modificato in maniera sostanziale le caratteristiche naturali del corso d'acqua.

Funzionalità relativa	Lungh. Tot Dx (m)	% Dx	Lungh. Tot Sx (m)	% Sx
ottimo	813	0%	813	39%
ottimo-buono	0	0%	0	0%
buono	1032	89%	1032	50%
buono-mediocre	0	0%	0	0%
mediocre	226	11%	226	11%
mediocre-scadente	0	0%	0	0%
scadente	0	0%	0	0%
scadente-pessimo	0	0%	0	0%
pessimo	0	0%	0	0%

Tabella 3: Percentuale dei giudizi di funzionalità relativa in relazione alla lunghezza del corso d'acqua

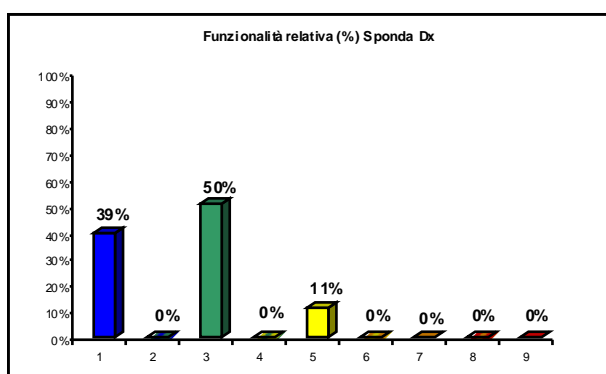


Figura 4a: Grafici della distribuzione percentuale dei giudizi di funzionalità relativa per la sponda destra

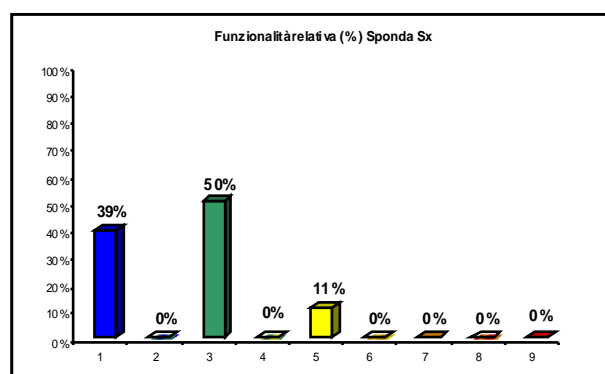


Figura 4b: Grafici della distribuzione percentuale dei giudizi di funzionalità relativa per la sponda sinistra